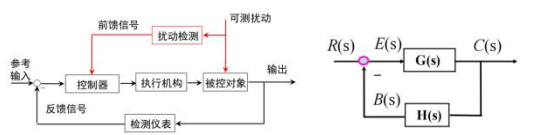


带前馈的闭环控制系统



开环传递函数

闭环/整个系统传递函数

前向通路传递函数G(s)

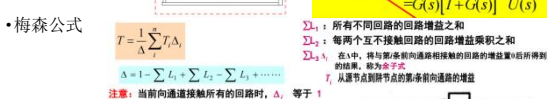
反馈通路传递函数H(s)

等效单位反馈

简化方块图求总传递函数的要点：同名变量对间传递函数不变

MIMO 系统

梅森公式



状态空间表达式

状态空间模型图

三种常用系统状态变量：物理状态变量

(储能元件)，相变量，正则变量

独立物理量：该物理量不能够由其他状态变量所构成的函数来表示，

可以由其他状态变量的各阶导数所构成的函数表示。电容(电压)v、电感(电流)i、质量(传递速度)v、弹量(位移)x、流体容量(高度)h、热容(温度)c、流体可压缩性(压力)pL

变量解释：x 状态向量(完全描述、数量最少)、y 输出向量、A 对象系数矩阵/系统矩阵、B 控制矩阵、C 输出矩阵、D 前馈矩阵

仿真图：状态变量(相)选择为

各个积分器的输出

状态变量不唯一

(物理和相)

->状态空间模型不同

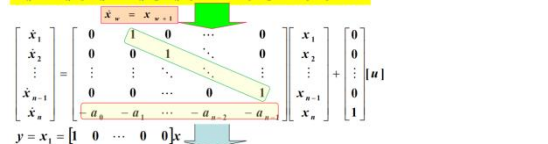
微分方程 (传递函数) -> 状态空间模型

输入无微分项：

$$y^{(n)}(t) + a_{n-1}y^{(n-1)}(t) + \dots + a_0y(t) = u$$

$$\dot{x}_n + a_{n-1}x_n + a_{n-2}x_{n-1} + \dots + a_1x_2 + a_0x_1 = u$$

$$\dot{x}_n + a_{n-1}x_n + a_{n-2}x_{n-1} + \dots + a_1x_2 + a_0x_1 = u$$



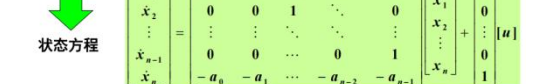
标准形式： $\dot{x} = Ax + bu$ ， $y = cx$ 。注意下标。

Companion matrix 友矩阵，能控标准型(A<sub>b</sub>, b<sub>b</sub>)

输入有微分项：

$$(D^n + a_{n-1}D^{n-1} + \dots + a_1D + a_0)y = (c_nD^n + c_{n-1}D^{n-1} + \dots + c_1D + c_0)u$$

$$(D^n + a_{n-1}D^{n-1} + \dots + a_1D + a_0)y = (c_nD^n + c_{n-1}D^{n-1} + \dots + c_1D + c_0)u$$



$$y = [c_0 - a_0c_n \quad (c_1 - a_1c_n) \quad \dots \quad (c_{n-1} - a_{n-1}c_n)]x + c_nu$$

$$y = [c_0 \quad c_1 \quad \dots \quad c_w \quad 0 \quad \dots \quad 0]x = cx$$

微分方程 (传递函数) -> 状态空间模型 对角标准型

$$Y(s) = G(s) = \frac{\beta_n s^n + \beta_{n-1} s^{n-1} + \dots + \beta_1 s + \beta_0}{(s - \lambda_1)(s - \lambda_2) \dots (s - \lambda_n)} = \beta_n + \sum_{i=1}^n \frac{G_i(s)}{(s - \lambda_i)}$$

$$Y(s) = \frac{1}{U(s)} = \frac{1}{6s^3 + 3s^2 + 2s + 4}$$

$$Y(s) = \frac{1}{U(s)} = \frac{1}{6s^3 + 3s^2 + 2s + 4}$$

$$Y(s) = \frac{1}{U(s)} = \frac{1}{6s^3 + 3s^2 + 2s + 4}$$

$$Y(s) = \frac{1}{U(s)} = \frac{1}{6s^3 + 3s^2 + 2s + 4}$$

$$Y(s) = \frac{1}{U(s)} = \frac{1}{6s^3 + 3s^2 + 2s + 4}$$

$$Y(s) = \frac{1}{U(s)} = \frac{1}{6s^3 + 3s^2 + 2s + 4}$$

$$Y(s) = \frac{1}{U(s)} = \frac{1}{6s^3 + 3s^2 + 2s + 4}$$

$$Y(s) = \frac{1}{U(s)} = \frac{1}{6s^3 + 3s^2 + 2s + 4}$$

$$Y(s) = \frac{1}{U(s)} = \frac{1}{6s^3 + 3s^2 + 2s + 4}$$

$$Y(s) = \frac{1}{U(s)} = \frac{1}{6s^3 + 3s^2 + 2s + 4}$$

$$Y(s) = \frac{1}{U(s)} = \frac{1}{6s^3 + 3s^2 + 2s + 4}$$

$$Y(s) = \frac{1}{U(s)} = \frac{1}{6s^3 + 3s^2 + 2s + 4}$$

$$Y(s) = \frac{1}{U(s)} = \frac{1}{6s^3 + 3s^2 + 2s + 4}$$

$$Y(s) = \frac{1}{U(s)} = \frac{1}{6s^3 + 3s^2 + 2s + 4}$$

$$Y(s) = \frac{1}{U(s)} = \frac{1}{6s^3 + 3s^2 + 2s + 4}$$

$$Y(s) = \frac{1}{U(s)} = \frac{1}{6s^3 + 3s^2 + 2s + 4}$$

$$Y(s) = \frac{1}{U(s)} = \frac{1}{6s^3 + 3s^2 + 2s + 4}$$

$$Y(s) = \frac{1}{U(s)} = \frac{1}{6s^3 + 3s^2 + 2s + 4}$$

$$Y(s) = \frac{1}{U(s)} = \frac{1}{6s^3 + 3s^2 + 2s + 4}$$

$$Y(s) = \frac{1}{U(s)} = \frac{1}{6s^3 + 3s^2 + 2s + 4}$$

$$Y(s) = \frac{1}{U(s)} = \frac{1}{6s^3 + 3s^2 + 2s + 4}$$

$$Y(s) = \frac{1}{U(s)} = \frac{1}{6s^3 + 3s^2 + 2s + 4}$$

$$Y(s) = \frac{1}{U(s)} = \frac{1}{6s^3 + 3s^2 + 2s + 4}$$

$$Y(s) = \frac{1}{U(s)} = \frac{1}{6s^3 + 3s^2 + 2s + 4}$$

$$Y(s) = \frac{1}{U(s)} = \frac{1}{6s^3 + 3s^2 + 2s + 4}$$

$$Y(s) = \frac{1}{U(s)} = \frac{1}{6s^3 + 3s^2 + 2s + 4}$$

$$Y(s) = \frac{1}{U(s)} = \frac{1}{6s^3 + 3s^2 + 2s + 4}$$

$$Y(s) = \frac{1}{U(s)} = \frac{1}{6s^3 + 3s^2 + 2s + 4}$$

$$Y(s) = \frac{1}{U(s)} = \frac{1}{6s^3 + 3s^2 + 2s + 4}$$

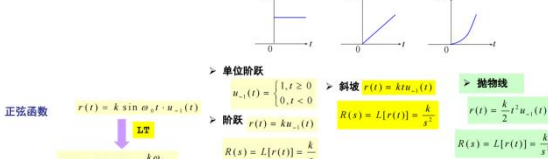
$$Y(s) = \frac{1}{U(s)} = \frac{1}{6s^3 + 3s^2 + 2s + 4}$$

$$Y(s) = \frac{1}{U(s)} = \frac{1}{6s^3 + 3s^2 + 2s + 4}$$

$$Y(s) = \frac{1}{U(s)} = \frac{1}{6s^3 + 3s^2 + 2s + 4}$$

$$Y(s) = \frac{1}{U(s)} = \frac{1}{6s^3 + 3s^2 + 2s + 4}$$

典型输入



$$r(t) = k \sin \omega_n t, \quad G(s) \text{ 不含 } \frac{1}{s^2}$$

$$r(t) = k \sin \omega_n t, \quad G(s) \text{ 不含 } \frac{1}{s^2}$$

$$r(t) = k \sin \omega_n t, \quad G(s) \text{ 不含 } \frac{1}{s^2}$$

$$r(t) = k \sin \omega_n t, \quad G(s) \text{ 不含 } \frac{1}{s^2}$$

$$r(t) = k \sin \omega_n t, \quad G(s) \text{ 不含 } \frac{1}{s^2}$$

$$r(t) = k \sin \omega_n t, \quad G(s) \text{ 不含 } \frac{1}{s^2}$$

$$r(t) = k \sin \omega_n t, \quad G(s) \text{ 不含 } \frac{1}{s^2}$$

$$r(t) = k \sin \omega_n t, \quad G(s) \text{ 不含 } \frac{1}{s^2}$$

$$r(t) = k \sin \omega_n t, \quad G(s) \text{ 不含 } \frac{1}{s^2}$$

$$r(t) = k \sin \omega_n t, \quad G(s) \text{ 不含 } \frac{1}{s^2}$$

$$r(t) = k \sin \omega_n t, \quad G(s) \text{ 不含 } \frac{1}{s^2}$$

$$r(t) = k \sin \omega_n t, \quad G(s) \text{ 不含 } \frac{1}{s^2}$$

$$r(t) = k \sin \omega_n t, \quad G(s) \text{ 不含 } \frac{1}{s^2}$$

$$r(t) = k \sin \omega_n t, \quad G(s) \text{ 不含 } \frac{1}{s^2}$$

$$r(t) = k \sin \omega_n t, \quad G(s) \text{ 不含 } \frac{1}{s^2}$$

$$r(t) = k \sin \omega_n t, \quad G(s) \text{ 不含 } \frac{1}{s^2}$$

$$r(t) = k \sin \omega_n t, \quad G(s) \text{ 不含 } \frac{1}{s^2}$$

$$r(t) = k \sin \omega_n t, \quad G(s) \text{ 不含 } \frac{1}{s^2}$$

$$r(t) = k \sin \omega_n t, \quad G(s) \text{ 不含 } \frac{1}{s^2}$$

$$r(t) = k \sin \omega_n t, \quad G(s) \text{ 不含 } \frac{1}{s^2}$$

$$r(t) = k \sin \omega_n t, \quad G(s) \text{ 不含 } \frac{1}{s^2}$$

$$r(t) = k \sin \omega_n t, \quad G(s) \text{ 不含 } \frac{1}{s^2}$$

$$r(t) = k \sin \omega_n t, \quad G(s) \text{ 不含 } \frac{1}{s^2}$$

$$r(t) = k \sin \omega_n t, \quad G(s) \text{ 不含 } \frac{1}{s^2}$$

$$r(t) = k \sin \omega_n t, \quad G(s) \text{ 不含 } \frac{1}{s^2}$$

$$r(t) = k \sin \omega_n t, \quad G(s) \text{ 不含 } \frac{1}{s^2}$$

$$r(t) = k \sin \omega_n t, \quad G(s) \text{ 不含 } \frac{1}{s^2}$$

$$r(t) = k \sin \omega_n t, \quad G(s) \text{ 不含 } \frac{1}{s^2}$$

$$r(t) = k \sin \omega_n t, \quad G(s) \text{ 不含 } \frac{1}{s^2}$$

$$r(t) = k \sin \omega_n t, \quad G(s) \text{ 不含 } \frac{1}{s^2}$$

$$r(t) = k \sin \omega_n t, \quad G(s) \text{ 不含 } \frac{1}{s^2}$$

$$r(t) = k \sin \omega_n t, \quad G(s) \text{ 不含 } \frac{1}{s^2}$$

$$r(t) = k \sin \omega_n t, \quad G(s) \text{ 不含 } \frac{1}{s^2}$$

高阶系统自由响应各分量的衰减快慢由系统极点的位置决定

- 虚轴在s平面左半部离虚轴越远，相应的分量衰减越快，对系统的

影响越小

- 若一对实极点与虚轴接近，则在输出y(t)中与该极点对应的分量就几乎被忽略

- 当某极点靠近零点而远离其他极点和原点，则相应的系数减小，该自由分量的影响就小

- 若某极点远离零点和和其他极点，越接近原点，则相应的系数就越大，该自由分量的影响也就越大

- 系统的零、极点共同决定了系统自由响应曲线的形状

对于系数很小(影响很小)的分量、远离虚轴衰减很快的分量常常可以忽略，此时高阶系统就可利用低阶系统来近似估计

主导极点：附近无其它零极点、距虚轴较近(1/5)

新增零点：使超调量加大，调节时间增加

新增极点：使超调量减小，调节时间增加

状态空间模型的解算问题  $\dot{x}(t) = Ax(t)$   $\rightarrow x(t) = e^{At}x(0)$

状态转移矩阵的计算  $\dot{x}(t) = Ax(t)$   $\rightarrow x(t) = e^{At}x(0)$

1) 直接计算  $\Phi(t) = e^{At} = \exp[At]$

2) 拉氏变换  $\Phi(s) = e^{As} = L^{-1}[(sI - A)^{-1}]$

3) 矩阵对角化  $A = T^{-1}AT$   $e^{At} = Te^{tT^{-1}AT}T^{-1}$

4) Cayley-Hamilton 定理  $e^{At} = \sum_{k=0}^{n-1} \alpha_k(t)A^k$

状态空间模型的解算  $x(t) = \Phi(t)x(0) + \int_0^t \Phi(t-\beta)Bu(\beta)d\beta$

1) 直接求解方程(时域)  $\dot{x}(t) = Ax(t) + Bu(t)$

连续运算，直到所有的i式都计算完成，余下的各行都按照类似的方法计算，直到i=n

2) 利用拉普拉斯变换(S域)

劳斯稳定性判据：第一列元素必须没有符号变化。

符号变化次数=正实部的根的个数

二阶系统：所有系数都具有相同的符号

三阶系统  $a_0, a_1, a_2, a_3$  同号,  $a_2a_1 - a_0a_3 > 0$

3种情况

- 首列无零元素(普通情况)

- 首列有零元素，但在零元素所在的行中

具有非零的其他元素

$E(s) = R(s) - H(s)Y(s) = R(s) - H(s)Y(s) = E(s) + E(s)$

$S=1/x$  代入原方程。原特征多项式乘(s+1)

- 劳斯阵列的某一行元素均为零

用一个很小的正数ε代替0元素。上一非

零行

$U(s) = \beta_1 s^{i+1} + \beta_2 s^{i-1} + \beta_3 s^{i-3} + \dots$

$e_{ss} = \lim_{t \rightarrow \infty} e(t) = \lim_{s \rightarrow 0} [s(e(t) - z(t))]$

构造辅助多项式，辅助多项式的根就是对特征根

稳定裕量：令  $s = z - \sigma$

稳态误差

终值定理

单位负反馈系统的型别

m=几，几型系统

稳态位置(阶跃)误差系数  $K_p = \lim_{s \rightarrow 0} G(s)H(s)$

稳态速度(斜坡)误差系数  $K_v = \lim_{s \rightarrow 0} sG(s)H(s)$

稳态加速度(抛物线)误差系数  $K_a = \lim_{s \rightarrow 0} s^2 G(s)H(s)$

减小v消除稳态误差：提高型别 增大稳态误差系数 改变结构

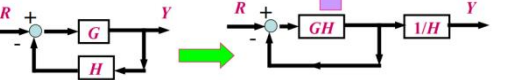
单位负反馈系统  $G(s) = \frac{K\beta(s)}{s^n \alpha(s)}$



系统 型别	误差系数			稳态误差		
	$K_p$	$K_v$	$K_a$	阶跃输入 $R_1(s)$	斜坡输入 $R_2s$	抛物线输入 $\frac{R_2}{2}s^2$
0	$K_p$	0	0	$\frac{R_1}{1+K_p}$	$\infty$	$\infty$
1	$\infty$	$K_v$	0	0	$\frac{R_2}{K_v}$	$\infty$
2	$\infty$	$\infty$	$K_a$	0	0	$\frac{R_2}{K_a}$

- > **m** 型系统可以**以零稳态误差**跟踪具有 $\nu^{m+1}$ 及更低次形式的输入
- > **m** 型系统可以**可以**跟踪具有 $\nu^m$ 形式的输入，但**存在常数稳态误差**
- > **m** 型系统**不能跟踪**具有 $\nu^{m+1}$ 及更高次形式的输入，因为稳态误差趋向于无穷值

- 非单位负反馈系统：转化为等价的单位负反馈系统



- 根轨迹：当闭环系统某一参数（如开环根轨迹增益）变化时，闭环极点在 S 平面上变化的轨迹
- 增加开环零点，拉左，稳定，过渡加快；加极点，拉右，不稳定，慢
- 判断一点是否在根轨迹上：相角条件。赋值条件求 K
- 根轨迹绘制方法：

- 1、分支数=max(w,n)，实轴对称、连续曲线

- 2、起于开环极点，终于开环零点

- 3、渐近线
$$\sigma_a = \frac{\sum_{i=1}^n p_i - \sum_{j=1}^m z_j}{n-m} \quad \gamma = \frac{(1+2k)180^\circ}{n-w} \quad k \in \{0,1,\dots,n-w-1\}$$

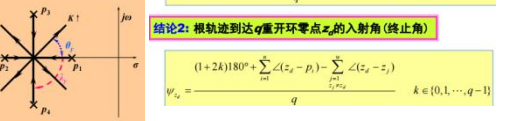
- 4、实轴：右奇

- 5、分离点分离角
$$\sum_{i=1}^n \frac{1}{r-p_i} = \sum_{j=1}^m \frac{1}{r-z_j} \quad \frac{(2h+1)180^\circ}{l} \quad \text{其中 } l \text{ 表示有 } l \text{ 条根轨迹在该分离点分离。}$$

- 6、虚轴交点 $r \in C$

- 1+ $G(j\omega)H(j\omega)$ =0

- 8、根轨迹交叉点W(s)的 $\gamma$ -1阶导数=0有 $\gamma$ 条根轨迹分支



$$\lambda_r = \pm \frac{360^\circ}{Y} \quad \theta_r = \pm \frac{180^\circ}{Y}$$

- 9、系统根之和守恒（n-2>w 时）

- 广义根轨迹

- 1、参数根轨迹

- 2、正反馈根轨迹/K<0 规则 3、4、6 改

$$\gamma = \frac{2k\pi}{n-w} \quad \text{偶数、} \quad \text{出射角} \quad \theta_{p_k} = 0^\circ + \sum_{i=1}^m \angle(p_i - z_i) - \sum_{i \neq k} \angle(p_i - p_i)$$

$$\text{入射角} \quad \psi_{z_k} = 0^\circ + \sum_{i=1}^n \angle(z_k - p_i) - \sum_{i \neq k} \angle(z_k - z_i)$$

$$e^{-\tau s} = \frac{e^{-\frac{\tau}{2}s}}{e^{\frac{\tau}{2}s}} \approx \frac{1 - \frac{\tau}{2}s}{1 + \frac{\tau}{2}s} = \frac{s - \frac{2}{\tau}}{s + \frac{2}{\tau}}$$

- 基于根轨迹的系统补偿器设计

- 1、积分器、微分控制、PID 控制器、超前/滞后控制器

$$K(s) = K \frac{s+z}{s+p}$$

$$\text{Bode 图:} \quad \text{LmG(j}\omega) = 20\lg|G(j\omega)|, \quad \angle G(j\omega)$$

- 典型环节

- 1、比例环节

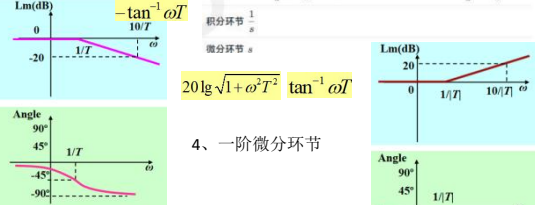
- 2、微分、积分环节

$$\text{Lm}(j\omega)^{-1} = 20\lg|j\omega|^{-1} = -20\lg\omega$$

$$\text{Lm}(j\omega) = 20\lg|j\omega| = 20\lg\omega$$

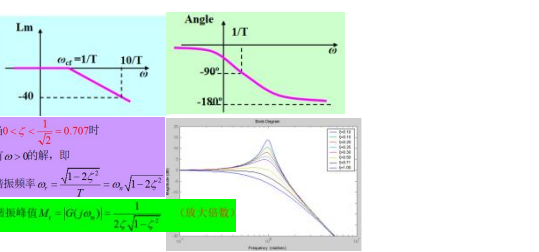
- 3、惯性环节：低频段

$$\text{OdB,1/T 转折}$$



- 5、振荡环节

$$\text{振荡环节} \quad \frac{1}{T^2(j\omega)^2 + 2\zeta T(j\omega) + 1} \quad -1 < \zeta < 0, T > 0$$



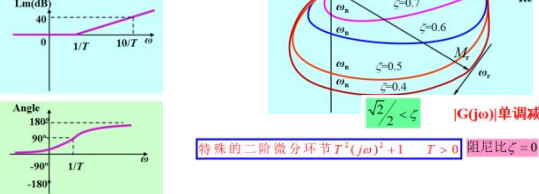
$$\text{振荡环节} \quad \frac{1}{T^2(j\omega)^2 + 2\zeta T(j\omega) + 1} \quad -1 < \zeta < 0, T > 0 \quad \text{幅频同上，相频与上反号，幅相曲线与上共轭}$$

$$\text{特殊的振荡环节} \quad \frac{1}{T^2(j\omega)^2 + 1} \quad T > 0 \quad \text{阻尼比} \zeta = 0$$

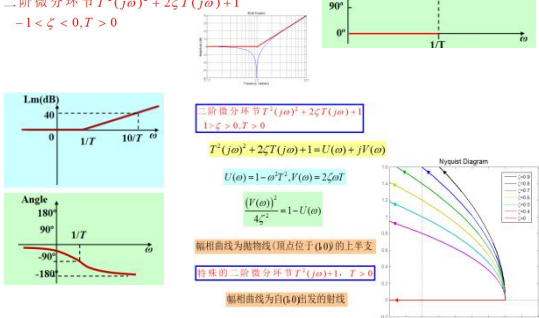
$$\text{相频特性在转折频率处有跳变}$$

- 6、二阶微分环节

$$\text{二阶微分环节} \quad T^2(j\omega)^2 + 2\zeta T(j\omega) + 1 \quad 1 < \zeta < 0, T > 0$$



$$\text{二阶微分环节} \quad T^2(j\omega)^2 + 2\zeta T(j\omega) + 1 \quad 1 < \zeta < 0, T > 0$$



- 7、纯滞后环节

$$\text{纯滞后环节: } e^{-j\tau\omega}$$

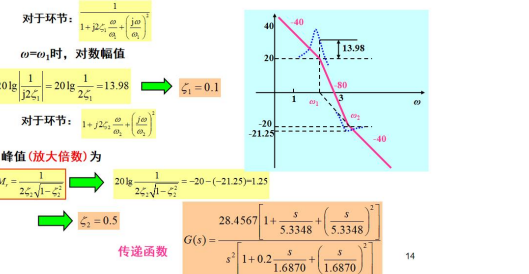
$$|G(j\omega)| = 1 \quad \angle G(j\omega) = -\tau\omega(\text{radius}) = -57.3\tau\omega(\text{degree})$$

- 绘制低频段渐近特性线

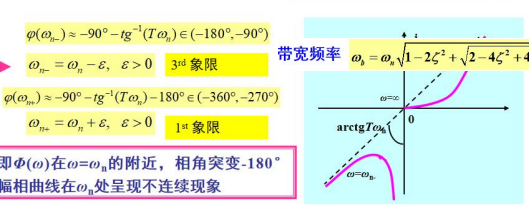
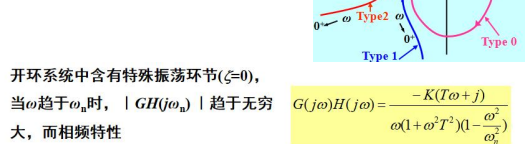
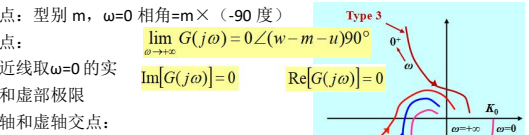
$$\text{方法一: 在 } \omega < \omega_{\min} \text{ 范围内, 任选一点 } \omega_0, \text{ 计算 } \text{Lm}(\omega_0) = 20\lg K - 20\text{m}\lg\omega_0$$

$$\text{方法二: 取频率为特定值 } \omega_0=1, \text{ 则 } \text{Lm}(1) = 20\lg K$$

$$\text{方法三: 取 } \text{Lm}(\omega_0)=0, \text{ 则有 } \omega_0 = K^{\frac{1}{m}} \quad (m > 0)$$



$$\text{系统的开环幅相曲线绘制} \quad G(j\omega) = \frac{K_m(1+j\omega T_z)(1+j\omega T_p)\dots(1+j\omega T_n)}{(j\omega)^m(1+j\omega T_1)(1+j\omega T_2)\dots(1+j\omega T_n)}$$

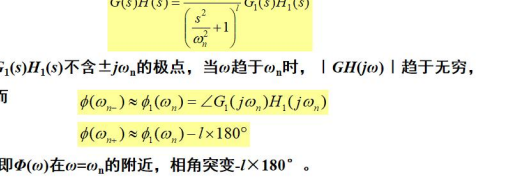


- S 平面的右半平面有极点，非最小相位系统

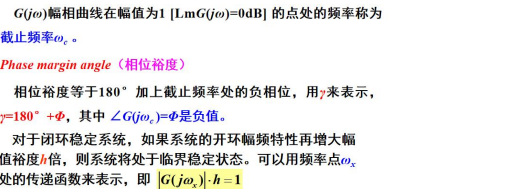
- 设系统开环传递函数分子、分母多项式的阶次分别为w和n，记除K外，分子多项式中最小相位环节的阶次和为w1，非最小相位环节的阶次和为w2，分母多项式中最小相位环节的阶次和为n1，非最小相位环节的阶次和为n2，则有

$$w = w_1 + w_2 \quad \phi(\omega) = \begin{cases} [(w_1 - w_2) - (n_1 - n_2)] \times 90^\circ & K > 0 \\ [(w_1 - w_2) - (n_1 - n_2)] \times 90^\circ - 180^\circ & K < 0 \end{cases}$$

- 3) 若开环系统存在特殊振荡环节，重数 l 为正整数，即开环传递函数具有下述形式



- Nyquist 稳定性判据 $Z_R = P_R - N$ 当 $G(j\omega)H(j\omega)$ 穿越-1+j0点，Nyquist稳定判据不能用。半径仍然是无穷大，但当S平面的 $\theta$ 从- $\pi/2$ 到 $\pi/2$ 时， $G(s)H(s)$ 的相位则顺时针从0- $\rightarrow$ 0+变化m个半圆。
- 从 $G(s)H(s)$ 的极坐标图上判别其包围点（-1+j0）的圈数N，再由已知的开环不稳定极点个数（在右半平面） $P_R$ ，可求出闭环特征方程B(s)在右半平面的零点——即闭环系统的极点——的个数 $Z_R$ 。
- 半径仍然是无穷大，但当S平面的 $\theta$ 从- $\pi/2$ 到 $\pi/2$ 时， $G(s)H(s)$ 的相位则顺时针从0- $\rightarrow$ 0+变化m个半圆。
- 相位裕度（45-60 度）和幅值裕度



$$\text{在 } G(j\omega) \text{ 极坐标图上, 频率点 } \omega_n \text{ 对应的幅值 } |G(j\omega_n)| = \frac{1}{h}$$

- 非最小相位系统不能用相位裕度和幅值裕度来判断系统稳定性
- 补偿器设计
- 二阶系统

$$\text{截止频率 } \omega_c \text{ 与阻尼比 } \zeta, \text{ 自然频率 } \omega_n \text{ 的关系} \quad \text{相位裕度 } \gamma \text{ 与阻尼比 } \zeta \text{ 的关系}$$

$$\frac{\omega_c}{\omega_n} = \left( \sqrt{4\zeta^4 + 1} - 2\zeta^2 \right)^{\frac{1}{2}} \quad \gamma = \arctg \frac{2\zeta\omega_n}{\omega_c} = \arctg \left( \frac{2\zeta}{\sqrt{4\zeta^4 + 1} - 2\zeta^2} \right)$$

$$\text{谐振峰值} \quad M_r = \frac{1}{2\zeta\sqrt{1-\zeta^2}}, \quad \zeta \leq 0.707 \quad \Rightarrow \quad \sigma = e^{-\pi\sqrt{\frac{M_r - \sqrt{M_r^2 - 1}}{M_r - \sqrt{M_r^2 - 1}}}} \times 100\% \quad M_r \geq 1$$

$$\text{谐振频率} \quad \omega_r = \omega_n\sqrt{1-2\zeta^2}, \quad \zeta \leq 0.707 \quad \text{调节时间} \quad T_s = \frac{3.5}{\zeta\omega_n} \quad \text{或} \quad \omega_n T_s = \frac{7}{\text{tg}\gamma}$$

$$\text{高阶系统} \quad \text{谐振峰值} \quad M_r = \frac{1}{|\sin\gamma|}$$

$$\text{超调量} \quad \sigma = 0.16 + 0.4(M_r - 1), \quad 1 \leq M_r \leq 1.8$$

$$\text{调节时间} \quad T_s = \frac{K_o\pi}{\omega_c}$$

$$K_o = 2 + 1.5(M_r - 1) + 2.5(M_r - 1)^2, \quad 1 \leq M_r \leq 1.8$$

- 用开环频率特性进行系统设计

- （1）稳 相位裕度>=45 度，幅值裕度>=6dB
- （2）快 相位裕度在 45 度到 60 度之间，尽可能大的开环截止频率 $\omega_c$
- （3）准 开环幅频起始斜率为-20 或-40，低频段应有较高幅值
- （4）抗干扰：开环高频段应有尽可能大的斜率。

- 串联超前
- 串联滞后

$$\text{重新找到 } -10\text{ga} \text{ 作为新的 } \omega_m \text{ 找到满足裕度的角 } (+5-12) \text{ 得到 } \omega_c$$

$$\alpha = (1 + \sin\phi)/ (1 - \sin\phi) \quad \phi_m = \arcsin \frac{\alpha - 1}{\alpha + 1}$$

$$\beta = \frac{1 + \sin(-\phi_m)}{1 - \sin(-\phi_m)} \quad \phi_m = \arcsin \frac{1 - \beta}{1 + \beta}$$